

新潟大学工学部 正員 矢島基臣
 新潟大学工学部 正員 ○鈴木哲
 新潟大学大学院 宮下裕之

- はじめに 昨年度、グレーチングの目づまり雪に静的荷重を加え主げたがI型（従来）とF型（平板）の場合で、落下の難易を試験した。本年はテーパー型も加え、各グレーチングタイプの車両通交による目づまり雪の除去の難易を強度のちがいについて試験した。
- 試験供試体形状は図1に示した。主げた断面等は図2、3に示した。
- 車両による目づまり落下試験（1）図4のような装置で、各雪質をグレーチングの目につめ、その上に車両を通交させ、目づまりの落下率（目づまりさせた目の数との比）を調べた。雪質は、①粉末状雪質（さらめ状圧雪を粉末状にしたもの）、②水分飽和状雪質（さらめ状圧雪に0°C近い水を充分加える）で、これらをグレーチングの目につめ、約10分間放置し、図4の装置にのせスパイクタイヤをはいたトラックを除行で通交させ、落下率を調べた。（2）結果：図5に示した①T8型は、粉末雪で79%、水分飽和雪で89%の落下率を示した。水分飽和雪を凍結させた場合、T8型は、80%をこえた。②それに対し、従来のI型は、いづれの場合も極めてひくい落下率であつた。③F型グレーチングは、T8型とI型の中間的な落下率だつた。（3）まとめ：従来のI型グレーチングは、目づまりをおこしやすい構造で降雪地域の道路使用するのは不適である。テーパー型は目づまりはおこりにくい。

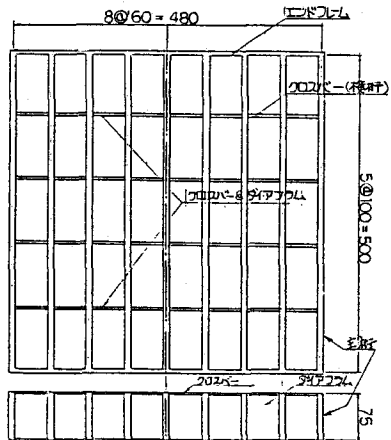


図1：グレーチングの形状

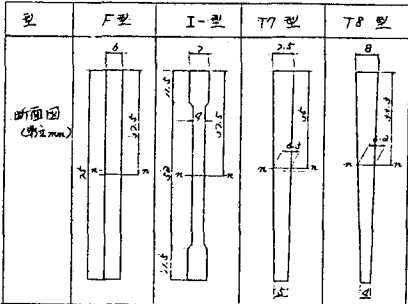


図2：主げたの断面

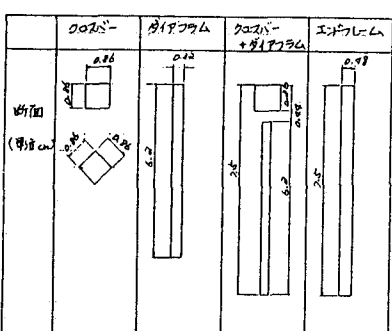


図3：クロスバーなどの断面

- グレーチング構造による強度の差異 （1）強度実験は、現行の標準的な載荷板による耐力試験に準じておこなつたが、本実験ではその条件を修正して実施した。実験装置は、支持間隔を標準設計に用いられるもの（450mm）とし、ローラによる単純支持供試体中央に荷重を作用させた。また供試体の材料強度として、主げた鋼材の引張強度試験をおこなつたが、I型材は製作加工硬化の影響により、他のものよりやや強度が大きく、その他はSS41材に相当する特性を示した。（2）載荷重Pは、中央主げたの中点での応力 σ が $\sigma_b = 1600 \text{ kg/cm}^2$ 、 $\sigma_y = 2400 \text{ kg/cm}^2$ および $\sigma_y^* = \text{実測降伏点強度}$ に相当するときの値として、それぞれP（想定設計荷重）、 P_y （降

伏荷重) および P_y^* を確認するようざん増させた。また $P - \delta$ 曲線は中央主げたの中点のたわみ δ を測定し、 P_y^* 以上に対しても、たわみ量により荷重制御をおこなった。(3) 実験結果は、以下の表に示す。 P_y' は部材が降伏し塑性的挙動に移ったとみられる荷重、 P_{20} は主げた中央のたわみ δ が 20mm に達したときの荷重である(A表)。また弾性解せき(変位法: DM 法、ギヨンーマソネ直交異方性板法: GM 法)の計算結果との比較も表 B に示した。(4) 疲労試験は、FN型と T8 型について静的載果と同条件で実施した。上限荷重 8.5~12ton、下限荷重 1.5~2ton、荷重比 0.167~0.222 で 100 万回のくり返し載荷をおこなったが、いづれも異状が認められなかった。

(5) 載荷実験と解せきの結果から以下の点が明らかとなつた。
 ① 標準的載荷板静的荷重により、部材の降伏にいたるまでの弾性挙動では、強度の大きなものから、I 型・F 型・T7 型・FN 型・T8 型の順である。ただし等断面で考えるときは、F 型と T7 型はいれかわる。
 ② 隔板のある場合の F 型は、それをもたない現用の FN 型に対して、降伏までの強度は約 11% 上昇する。
 ③ 塑性挙動にうつる荷重とみられる P_y' の大きさの順は、F 型・FN 型・I 型・T7 型・T8 型である。
 ④ 大変形の目やすとしての荷重 P_{20} 、および終局耐力荷重 P_v については、その大きさは次の順である。F 型・T7 型・T8 型・I 型・FN 型
 ⑤ P_{20} 、
 P_v の F 型(隔板あり)の現用 FN 型(隔板なし)に対する強度上昇はそれぞれ約 13% よび約 12% であった。
 ⑥ 構造解せきは弾性範囲についておこない、歪値は実測値との対応が満足すべきものであった。しかしたわみ値は対応が必ずしも良好でなく、なお載荷の分布については、計算上検討すべき点が残されている。
 ⑦ 疲労試験の結果は、強度上最も不利と考えられる T8 型と現用標

準の FN 型について、100 万回まで

のそれぞれの降伏荷重までの繰返し載荷に対して、いづれも異状が認められなかった。

表 A

主析 917°	荷重実測値 (ton)						P_{yC}/P_{yF}	P_{vC}/P_{vF}
	P_d	P_y	P_y^*	P_y'	P_{20}	P_{max}		
F 型	5.18	2.90	10.23	17.95	32.6	32.8	1.00	1.00
I 型	5.20	8.08	12.05	17.25	29.2	29.4	1.02	0.96
T7 型	4.63	6.93	8.90	16.50	32.5	32.5	0.88	0.74
T8 型	4.14	6.20	8.15	16.10	31.2	—	0.78	0.90
FN 型	9.34	6.92	9.10	19.40	28.0	29.4	0.85	0.97

表 B 実測値と解析値の比較 [P = 1 ton 时]

主析 917°	中央主筋中点たわみ δ ($\times 10^{-2} \text{ mm}$)			中央主筋中点歪 ϵ [下面] ($\times 10^{-4}$)		
	実測値	DM 法	GM 法	実測値	DM 法	GM 法
F 型	10.5	8.8	2.0	149	154	131
I 型	10.9	8.3	6.6	145	150	128
T7 型	10.3	8.7	6.8	160	159	136
T8 型	14.6	9.2	7.2	184	176	150
FN 型	10.6	10.5	10.2	164	182	183

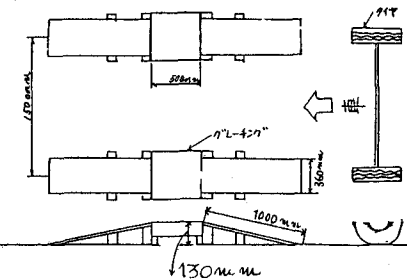
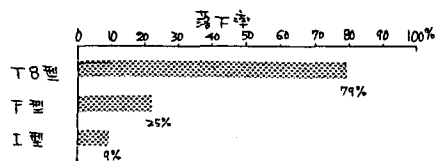
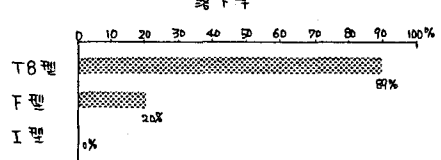


図 4 : 車両通過試験装置

I 粉末状雪質での平均落下率(平均気温 -2.5 ~ -2.8°C)



II 半飽和状雪質での平均落下率(平均気温 0.5 ~ 0.6°C)



III 半飽和状雪質での平均落下率(平均気温 -7.2 ~ -7.4°C)

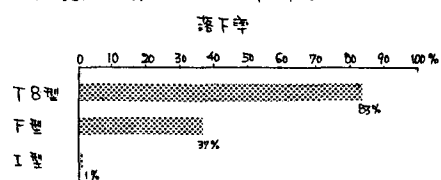


図 5 : 目づまり落下実験の結果